

БИБЛИОГРАФИЧЕСКИЙ СПИСОК

1. Добкин Б.В., Полухин Ю.Н. Анализ резонансных характеристик отражения линии передачи с гиromaгнитным резонатором и нерегулярностью. Вестник Самарского государственного аэрокосмического университета имени академика С.П. Королева. Серия: Актуальные проблемы радиоэлектроники. Выпуск 1. Самара, 1999.
2. Ю.Н. Полухин. Расчетная модель однозвенных гиromaгнитных устройств СВЧ. Гиromaгнитная электроника и электродинамика: тезисы докладов XVI Всесоюзного семинара, Куйбышев, 1990.

АНАЛИЗ ВЛИЯНИЯ ДИФРАКЦИИ ИЗЛУЧЕНИЯ НА МОДУЛЯЦИЮ ИЗЛУЧЕНИЯ В ВОЛС

Гречишников В.М., Конюхов Н.Е., Гречишников С.В.

Влияние дифракции излучения на характер модуляции излучения в волоконно-оптических системах (ВОЛС) считывания информации проявляется, в основном, по двум направлениям:

1. При значительных расстояниях между плоскостями считывающего и кодового дисков происходит нелинейное искажение формируемых сигналов, проявляющееся в сглаживании их вершин в точках перегиба (рис. 1). За счет этого форма сигнала может трансформироваться из треугольной в квазисинусоидальную, что существенно снижает возможности его обработки с помощью преобразователя напряжения в код (ПНК).

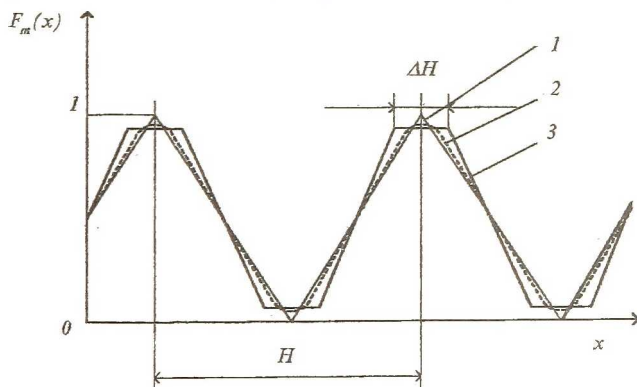


Рис. 1. Влияние дифракции излучения на характер модуляции оптических сигналов.

2. Наличие дифракционной освещенности в зоне геометрической тени (за пределами области считывающего элемента (СЭ)) снижает динамический диапазон сигнала, что эквивалентно уменьшению энергетического

к.п.д. волоконно-оптического тракта. Найдем количественные оценки двух этих факторов.

Оценка дифракционной нелинейности сигнала может быть выполнена, если известно дифракционное распределение освещенности излучения, которое для дифракции на краях экрана в виде бесконечной прямоугольной щели (рис. 2, а) имеет вид [1-3]:

$$f_D(x) = \frac{f_0}{\sqrt{2}} \sqrt{(U_1 - U_2)^2 + (w_1 - w_2)^2}, \quad (1)$$

$$\text{где: } \left. \begin{aligned} U_1 &= \int_0^{V_1} \cos \frac{\pi \xi^2}{2} d\xi; & U_2 &= \int_0^{V_2} \cos \frac{\pi \xi^2}{2} d\xi; \\ w_1 &= \int_0^{V_1} \sin \frac{\pi \xi^2}{2} d\xi; & w_2 &= \int_0^{V_2} \sin \frac{\pi \xi^2}{2} d\xi. \end{aligned} \right\} \quad (2)$$

Выражения (2) представляют собой интегралы Френеля, в которых пределы интегрирования имеют вид:

$$V_1 = \sqrt{\frac{2}{\lambda L}} (X_A - X); \quad V_2 = \sqrt{\frac{2}{\lambda L}} (X_n - X),$$

где λ — длина волны излучения, L — расстояние между плоскостями, X_A , X_n — координаты левой и правой границы щели соответственно, x — текущая координата точки наблюдения, $H = X_n - X_A$ — ширина щели.

Кривая (1) описывает дифракционное распределение облученности вдоль координаты x для одиночной щели. В случае использования многощелевого экрана функция $f_D(x)$ становится периодической и для ее описания на последующих периодах целесообразно задать аргумент x в виде: $x = \Delta x(n - kM)$, где Δx — шаг приращения аргумента x , n — номер шага $n = \overline{0, M}$, M — число шагов приращения аргумента на одном периоде функции, $K = \text{enl}[n/M]$ — номер периода изменения функции.

При $\Delta x = \text{const}$ фактической переменной является параметр n . Точность задания функции определяется значением шага квантования Δx .

В более общем случае, когда щель имеет трапецеидальный характер (рис. 2, б), а плоскость наблюдения вследствие ее деформации вырождается в поверхность, определяемую зависимостью $L(x, y)$. Распределение освещенности на поверхности наблюдения (области СЭ) может быть описано выражениями (1) и (2), в которых пределы интегрирования являются функциями двух переменных:

$$V_1 = \sqrt{\frac{2}{\lambda L(x, y)} [X_A(y) - x]}, \quad V_2 = \sqrt{\frac{2}{\lambda L(x, y)} [X_B(y) - x]}, \quad (3)$$

где $X_A(y)$ и $X_B(y)$ — уравнения левой и правой границ КЭ.

Из теории дифракционных явлений известно, что с увеличением ширины щели относительное влияние дифракции уменьшается. Поэтому области трапециевидальной щели с большей шириной вносят меньший вклад в энергетические потери и нелинейность сигнала, чем области с меньшей шириной. Это позволяет при анализе энергетических и модуляционных характеристик ограничиться рассмотрением худшего случая, заменив трапециевидную щель на прямоугольную, ширина H которой равна меньшему основанию трапеции (рис. 2, б). При этом двумерное распределение освещенности $f_D(x, y)$ можно заменить на одномерное $f_D(x)$. Получаемые при этом оценки коэффициента передачи и погрешности нелинейности будут отличаться от истинных на 5 — 10 %, что для рассматриваемой задачи не является существенной величиной.

Влияние дифракции на коэффициент передачи излучения в ВОЛС происходит за счет дифрагирования части излучения в область геометрической тени, т. е. за пределы считывающего элемента. Коэффициент передачи рассчитывается в точке оси x , в которой оси симметрии щелевой диафрагмы (КЭ) и СЭ совпадают (рис. 2, а). Для рассматриваемой оптической схемы коэффициент передачи можно записать в виде:

$$\eta_D = 1 - \frac{P_D}{P_0}, \quad (4)$$

где P_D — мощность излучения, дифрагировавшего за пределы СЭ (в область геометрической тени), P_0 — суммарная мощность, падающая на прозрачную область КЭ.

При известном нормированном распределении дифракционной освещенности $f_D(x)$ выражение (4) можно переписать в виде:

$$\eta_D = 1 - \frac{2 \int_{X_A=0}^{X_1} f_{DT}(x) dx}{\int_{-X_0}^{X_1} f_C(x) dx}, \quad (5)$$

где коэффициент «2», учитывает симметричность дифракционной картины, X_A — координата левой границы СЭ, X_1 — значение координаты в области геометрической тени, при которой функция $f_{DT}(x)$ имеет пренебрежимо малые значения, $f_C(x)$ — нормированная функция распределения освещенности в плоскости КЭ.

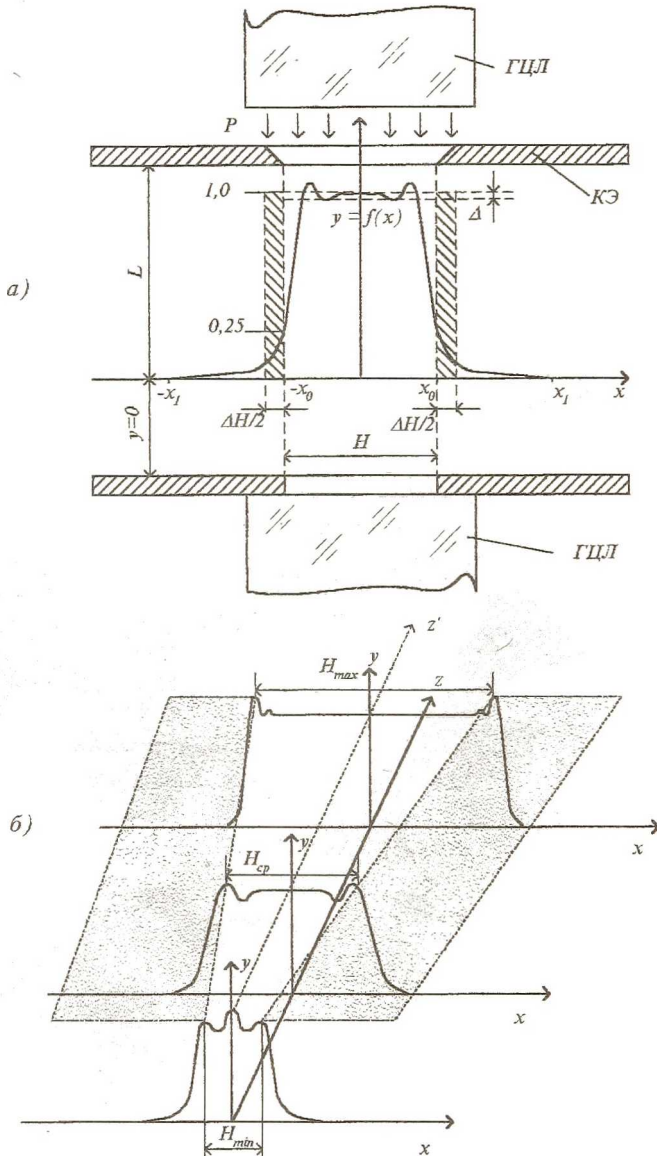


Рис. 2. К анализу влияния дифракции излучения на энергетический к.п.д. ВОЛС и функцию модуляции оптических сигналов

Из геометрического смысла интеграла в знаменателе выражения (5) ясно, что при $f_C(x) = 1$, получаем:

$$2 \int_{-x_0}^{x_0} f_D(x) dx = H \quad (6)$$

Для упрощения дальнейших расчетов воспользуемся асимптотическим приближением Ландау [4, 5], описывающим дифракционное распределение интенсивности излучения в области геометрической тени, которое для рассматриваемого случая необходимо адаптировать следующим образом:

$$f_{ДТ}(x) = \lambda L / 8 \left(x - \sqrt{\frac{\lambda L}{2}} \right)^2, \quad x < \frac{\lambda L}{2} \quad (7)$$

Задавая требуемое соотношение $1/f_{ДТ}(x) = \eta_0$ и решая (7) относительно X_1 , определяем предел интегрирования X_1 :

$$X_1 \approx \frac{\lambda L}{2} + \frac{1}{2} \sqrt{\frac{\eta_0 \lambda L}{2}} \quad (8)$$

Учитывая, что $\eta_0 \gg 1$, первым членом в (8) можно пренебречь. Отсюда:

$$X_1 \approx \frac{1}{2} \sqrt{\frac{\eta_0 \lambda L}{2}} \quad (9)$$

Пусть, например, $K_0 = 10^3$, $\lambda = 1$ мкм, $L = 500$ мкм, тогда $x = 350$ мкм. Числитель выражения (5) представляет собой табличный интеграл:

$$I = \frac{\lambda L}{8} \int_{-x_1}^0 \frac{dx}{\left(x_1 - \frac{\lambda L}{2} \right)^2} = \frac{\lambda L}{8} \left(\frac{\lambda L}{2} - x_1 \right) \Big|_{-x_1}^0, \quad (10)$$

Учитывая малость значения функции при подстановке нижнего предела интегрирования (10), с достаточной для практики степенью точности можно получить:

$$\eta_D \approx 1 - \frac{1}{H} \sqrt{\frac{\lambda L}{8}} \quad (11)$$

Графики, построенные по (11) для различных значений L и H , приведены на рис. 3. Приведенные зависимости показывают, что при достаточно широких КЭ ($H > 200$ мкм) и сравнительно малых зазорах между КЭ и СЭ ($L = 10 \div 50$ мкм), снижение коэффициента передачи не превышает 1 %, (0,05 дБ), что является незначительной величиной по сравнению с общими энергетическими потерями в ВОЛС, которые могут достигать 20 ÷ 30 дБ.

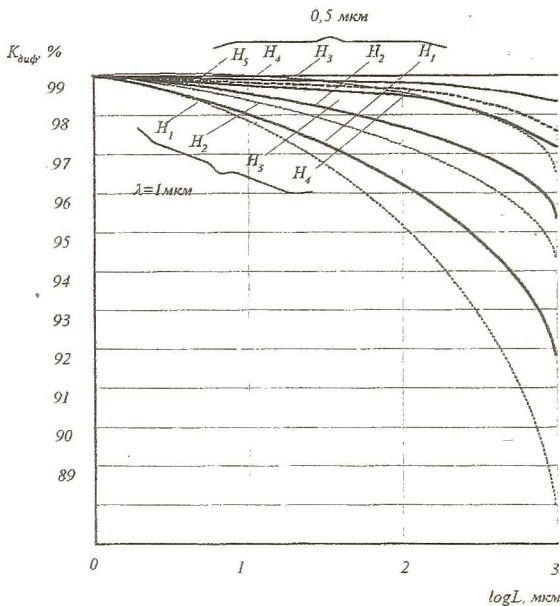


Рис. 3. Влияние дифракции на энергетический к.п.д. ВОЛС

Оценку влияния дифракции на нелинейность сигналов целесообразно производить для систем считывания, формирующих кусочно-линейные сигналы треугольной формы, которые используются в дальнейшем для обработки в ПНК. При формировании двоичных оптических сигналов, с помощью кодовых шкал нелинейность фронтов не имеет существенного значения, поэтому влиянием дифракции в данном случае можно пренебречь. Погрешность нелинейности формируемых сигналов может быть найдена по формуле:

$$\gamma_H = \frac{\max [F_{мд}(x) - F_{m0}(x)]}{F_{m0}(x)|_{x=H/2}}, \quad (12)$$

где $F_{мд}(x)$, $F_{m0}(x)$, — нормированные функции модуляции излучения при наличии дифракции и без нее соответственно, $F_{m0}(x)|_{x=0} = 1$ — значение функции модуляции в положении, при котором проекция КЭ на плоскость наблюдения полностью совпадает с СЭ, H — ширина щели.

Функция модуляции $F_{m0}(x)$ для прямоугольных КЭ и СЭ равна $F_{m0}(x) = |ax|$, где a — высота щели, определяющая чувствительность сопряжения к перемещению x .

При известной функции дифракционного распределения излучения $F_{д}(x)$, выражение для $F_{мд}(x)$ может быть получено в виде:

$$F_{mД}(x) = \int_x^{x+H} f_{Д}(x) dx. \quad (13)$$

Графики зависимостей $F_{mД}(x)$, $F_{m0}(x)$ показаны на рис. 1. Из рисунка видно, что в районе точки перегиба идеального сигнала ($x = H/2$) в реальном сигнале имеется сглаженный участок, обусловленный наличием дифрагированного излучения в зоне геометрической тени. С учетом (13) погрешность нелинейности равна:

$$\gamma_H = \frac{2 \max \left[\int_x^{x+H} f_{Д}(x) dx - |ax| \right]}{aH}. \quad (14)$$

Графики погрешности $\gamma(L, H)$, вычисленные с использованием (1) представлены на рис. 4. Анализ полученных кривых показывает, что нелинейность сигналов тем меньше, чем шире щель и меньше величина зазора L между плоскостями КЭ и СЭ. Для реальных значений $L = 30 \dots 50$ мкм и $H = 0,5 - 1$ мм погрешность нелинейности может достигать значений (1 — 1,5 %), которые нельзя не учитывать при построении обобщенной математической модели. Прямое решение задачи, основанное на расчете дифракционной картины по (1) в каждой точке диапазона преобразования с последующим вычислением функции модуляции по (14) или (15) является неприемлемым из-за затрат машинного времени. Поэтому в данном случае целесообразно учесть влияние дифракции путем перехода к некоторой эквивалентной ширине КЭ, равной сумме номинальной ширины H и поправки $\pm \Delta H$ (знак «+» соответствует левой границе КЭ, знак «-» соответствует правой границе), которая может быть пересчитана в единицы измерения угла.

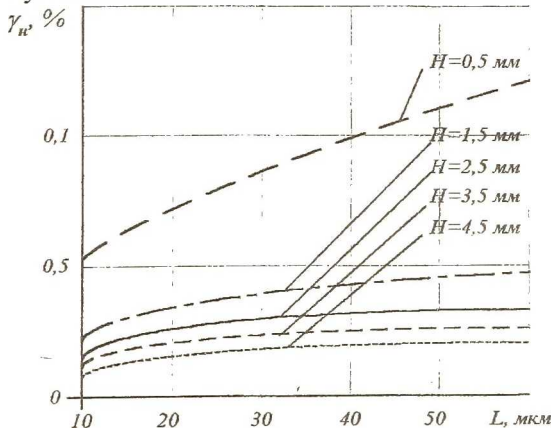


Рис. 4. График зависимости дифракционной погрешности нелинейности от параметров оптической схемы

Для схемы на рис. 2, а. справедливо следующее соотношение:

$$\frac{2}{H} \int_{-x_0}^0 f_D(x) dx = \frac{2}{\Delta H} \int_{-x_1}^{-x_0} f_{DT}(x) dx, \text{ откуда:} \quad (15)$$

$$\Delta H = H \frac{\int_0^{x_0} f_{DT}(x) dx}{\int_{-x_0}^{-x_1} f_{DT}(x) dx}, \quad (16)$$

где $f_{DT}(x)$ определяется в соответствии с (7). Учитывая, что с погрешностью $\approx 0,1\%$ можно записать:

$$\frac{\int_{-x_1}^0 f_{DT}(x) dx}{\int_{-x_0}^{-x_1} f_D(x) dx} \approx \frac{2 \int_{X_A=0}^{X_0} f_{DT}(x) dx}{\int_{-X_0}^{-X_1} f_C(x) dx}, \quad (17)$$

можно записать:

$$\Delta H \approx H (1 - \eta_D), \quad (18)$$

или, с учетом (11) и (18):

$$\Delta H \approx \sqrt{\frac{\lambda L}{8}}. \quad (19)$$

Значение угловой поправки может быть получено из формулы для длины дуги с центральным углом $\Delta\varphi_D$ соответствующем $\Delta H/2$ [6]:

$$\Delta\varphi_D \approx \pm \frac{1}{2\rho_{cp}} \sqrt{\frac{\lambda L}{8}}, \quad (20)$$

где ρ_{cp} — средний радиус кодовой дорожки.

Величина $\Delta\varphi_D$ может быть учтена при задании начальной разметки кодового диска. При наличии неплоскостности и торцевых биений, расстояния между КЭ и СЭ является некоторой функцией угла поворота φ , например: $L = L_{ном} + \Delta L(\varphi)$, где $L_{ном}$ — номинальное значение зазора, $\Delta L(\varphi)$ — приращение зазора, вызванное неплоскостностью и торцевыми биениями КЭ. Тогда окончательное значение поправки при задании угловых координат границ КЭ примет вид:

$$\Delta\varphi_D \approx \pm \frac{1}{2\rho_{cp}} \sqrt{\frac{\lambda (L_{ном} + \Delta L(\varphi))}{8}} \quad (21)$$

Таким образом, введение эквивалентной ширины КЭ позволяет учесть влияние дифракции на нелинейность преобразования и энергетический к.п.д. на каждом периоде формирования сигналов с использованием простых и достаточно корректных аналитических выражений, анализ которых не требует больших затрат машинного времени.

БИБЛИОГРАФИЧЕСКИЙ СПИСОК

1. Ратис Ю.Л., Леонович Г.И. Дифракция светового потока на чувствительных элементах волоконно-оптических и оптико-электронных датчиков механических перемещений // Компьютерная оптика, Вып. 16, 1996, с. 74 — 77.
2. Яворский Б.М., Детлаф А.А. Справочник по физике для инженеров и студентов ВУЗов. — М.: Наука, 1974. — 944 с.
3. Born M., Wolf E. Principles of Optics. N. Y.: Pergamon Press, 1984. p. 855.
4. Борисюк Л.В. Расчет погрешности устройства контроля лимбов, кодовых дисков: Метрология, 1991, № 8, Издательство стандартов, с. 9 — 17.
5. Ландау Л.Д., Лившиц Е.М. Теоретическая физика. т. 2. Теория поля. — М.: Наука, 1967. — 460 с.
6. Букреев И.Н. и др. Микроэлектронные схемы цифровых устройств. 2-е изд., переработанное и дополненное. — М.: Советское радио, 1975. — 368 с.

ПЕРСПЕКТИВЫ ПРИМЕНЕНИЯ ВНЕШНЕЙ СИНХРОНИЗАЦИИ В СИСТЕМАХ ПЕРЕДАЧИ ИНФОРМАЦИИ ДЛЯ УЛУЧШЕНИЯ ИХ ТЕХНИЧЕСКИХ ХАРАКТЕРИСТИК

Кремнев А.Е.

Немодулированный радиочастотный (РЧ) сигнал сам по себе не несёт никакой информации. Для передачи телеграфного сообщения РЧ сигнал манипулируют в соответствии с кодом Морзе. Для передачи телефонного сообщения несущую необходимо промодулировать. Чисто угловая модуляция, угловая или фазовая, используется только на УКВ диапазонах, поскольку полоса частот, занимаемая радиостанцией в эфире, получается излишне широкой. На КВ используют однополосную модуляцию, причем однополосный сигнал формируют из амплитудно-модулированного (АМ) сигнала. Рассмотрим особенности известных способов модуляции.

При фазовой модуляции (ФМ) фаза радиочастотного колебания изменяется обычно пропорционально мгновенным значениям модулирующего аналогового сообщения, поэтому полезный ФМ радиосигнал может быть записан в следующем виде:

$$s(t, \lambda) = A_0 \cos(\omega_0 t + M_\phi \lambda),$$

где A_0 , ω_0 — априорно известные значения амплитуды и частоты радиосигнала; $\lambda(t)$ — аналоговое сообщение; $M_\phi = \sigma_\phi / \sigma_\lambda$ — известная крутизна